



## C.1.2-9. ЦЕНТРАЛИЗОВАННАЯ ЗАЩИТА ПРИСОЕДИНЕНИЙ НАПРЯЖЕНИЕМ 6-10 кВ. ОТ КОРОТКИХ ЗАМЫКАНИЙ

М. Я. КЛЕЦЕЛЬ, Б. Е. МАШРАПОВ

Национальный исследовательский Томский политехнический университет,  
Россия  
Павлодарский государственный университет им. С. Торайгырова,  
Республика Казахстан  
[bokamashrapov@mail.ru](mailto:bokamashrapov@mail.ru)

### КЛЮЧЕВЫЕ СЛОВА

ячейка комплектного распределительно устройства, дуга, централизованная защита, закон Кирхгофа, подпитка от электродвигателей.

### 1 ВВЕДЕНИЕ

В сетях напряжением 6 – 10 кВ самыми разрушительными для ячеек комплектных распределительных устройств (КРУ) являются междуфазные дуговые короткие замыкания (КЗ) [1, 2, 3, 4, 5, 6]. Подавляющее большинство известных устройств для защиты КРУ от этих повреждений являются автономными (используют информацию только от защищаемого элемента) и обладают различными недостатками, описанными в [7]. Есть предложения по построению и централизованных защит [8, 9] (они используют информацию от нескольких защищаемых присоединений). Однако защита в [8] не обеспечивает отключение без выдержки времени КЗ в отсеке трансформаторов тока и кабельной разделки ячейки КРУ, а в [9] отключает эти КЗ быстро, но может одновременно с поврежденным присоединением отключить неповрежденное, если оно не имеет источников, подпитывающих КЗ. В данной работе предлагается централизованная защита без указанных недостатков.

### 2 ОСНОВНАЯ ЧАСТЬ

**Принцип действия.** Принцип действия защиты основан на использовании явления подпитки точки КЗ электродвигателями (ЭД) и закона Кирхгофа. Она приходит в действие, если значение остаточного напряжения на шинах  $U_{\text{ост}} \leq 0,5U_n$  (где  $U_n$  – номинальное напряжение на шинах), и срабатывает при КЗ на шинах на отключение выключателей ввода питания и мощных электродвигателей, если выполнилось одно из следующих неравенств:

$$\text{а)} |I_B| \geq p_1 \left| \sum_{i=1}^n I_i \right|, \quad \text{б)} |I_B| \leq p_2 \left| \sum_{i=1}^n I_i \right|, \quad (1)$$

где  $I_i$  – вектор тока в  $i$ -ом присоединении;  $I_B$  – вектор тока на вводе,  $p_1$  и  $p_2$  – коэффициенты, соответствующие суммарным максимальным погрешностям, действующим в сторону уменьшения и увеличения;  $n$  – количество присоединений.

Она срабатывает на отключение поврежденного присоединения, если [10]:

$$p_2 \left( \sum_{i=1}^{n, i \neq k} I_i + I_B \right) \leq I_k \leq p_1 \left( \sum_{i=1}^{n, i \neq k} I_i + I_B \right); \quad (2)$$

где  $I_k$  – модуль тока в поврежденном  $k$ -ом присоединении;  $I_i$  – модуль тока в неповрежденном  $i$ -ом присоединении;  $I_B$  – модуль тока на вводе.

Расчеты [9] показали, что при погрешностях трансформаторов тока 10% и реализующего устройства и расчетов 5%,

$$p_1 = 0,74; p_2 = 1,35. \quad (3)$$

При этом (1) имеет место, если суммарный ток, передаваемый в нагрузку по неповрежденным присоединениям, не превышает 10% от тока КЗ.

При наличии двух секций шин, соединенных секционным выключателем, рассматривается питание их потребителей от одного ввода. Тогда в условия срабатывания (1, 2) вводятся дополнительные слагаемые, соответствующие токам в присоединениях второй секции шин.

**Реализация и анализ работы.** На рисунке 1 дана принципиальная схема защиты, реализующей (1) и (2), содержащая датчики тока ДТ1, …, ДТ(3m) ( $m$  – количество присоединений с учетом ввода,  $m=n+1$ ), логические элементы И1, …, И(3m), ИЛИ1, …, ИЛИ(m+3), исполнительные элементы ИО1, …, ИО(m), блок контроля БК линейных напряжений и блоки I, II и III, обрабатывающие информацию о величине токов, соответственно, в фазах А, В и С присоединений, поступающую от ДТ1, …, ДТ(3m). Эти блоки состоят из выпрямителей BS1, …, BS(m+1), сумматоров С1, С2, вычитателей В1, …, В(m-1), усилителей У1, …, У $m$  и У(m+1), …, У(2m) с коэффициентами  $p_1$  и  $p_2$  усиления, и элементов сравнения ЭС1 и ЭС(m+1), в которых проверяется выполнение неравенств (1a) и (1б), и элементов сравнения ЭС2, …, ЭС $m$  и ЭС(m+2), …, ЭС(2m), в которых проверяется выполнение правой и левой частей неравенства (2).

Схема на рисунке 1 отличается от представленной в [10] наличием элементов ИЛИ1, ИЛИ2, ИЛИ3, ИЛИ4, ИО1 и в каждом блоке I, II, III сумматора С1, усилителей У1 и У(m+1), элементов сравнения ЭС1 и ЭС(m+1) и выпрямителя BS(m+1). Эти элементы позволяют реализовать защиту шин от междуфазных КЗ.

Рассмотрим работу предлагаемой защиты при КЗ между фазами А и В  $n$ -го присоединения. При этом считаем, что напряжение на шинах понизилось до  $0,5U_n$ , в результате чего ЭД переходят в режим генератора, и блок БК 6 выдает сигнал на один из входов каждого элемента И1, …, И(3m). Сумма токов, протекающих в фазах А ввода и всех присоединений, кроме  $n$ -го, равна току в  $n$ -ом присоединении (по закону Кирхгофа). На выходах С2 появляется напряжение, соответствующее этой сумме, и подается на В1, …, В(m-1), к другим входам которых приложено напряжение от BS1 и BS2, …, BS $m$ , соответствующее току в фазах А на вводе и 1-го, …,  $n$ -го присоединений. Разность этих напряжений с выходов В1, …, В(m-1) подается на У2, …, У $m$  и У(m+2), …, У(2m). На их выходах появляются напряжения, соответствующие правой и левой частям неравенства (2), и подаются на входы ЭС2, …, ЭС $m$  и ЭС(m+2), …, ЭС(2m). К их другим входам приложено напряжение от BS2, …, BS $m$ . При этом для тока в  $n$ -ом присоединении выполняется неравенство (2), сигналы появляются только на выходах ЭС $m$  и ЭС(2m) и поступают на элемент И(m). Он срабатывает, запуская (через ИЛИ(m+3)) элемент ИО $m$ , который и отключает  $n$ -ое присоединение. В остальных режимах работа устройства анализируется аналогично.

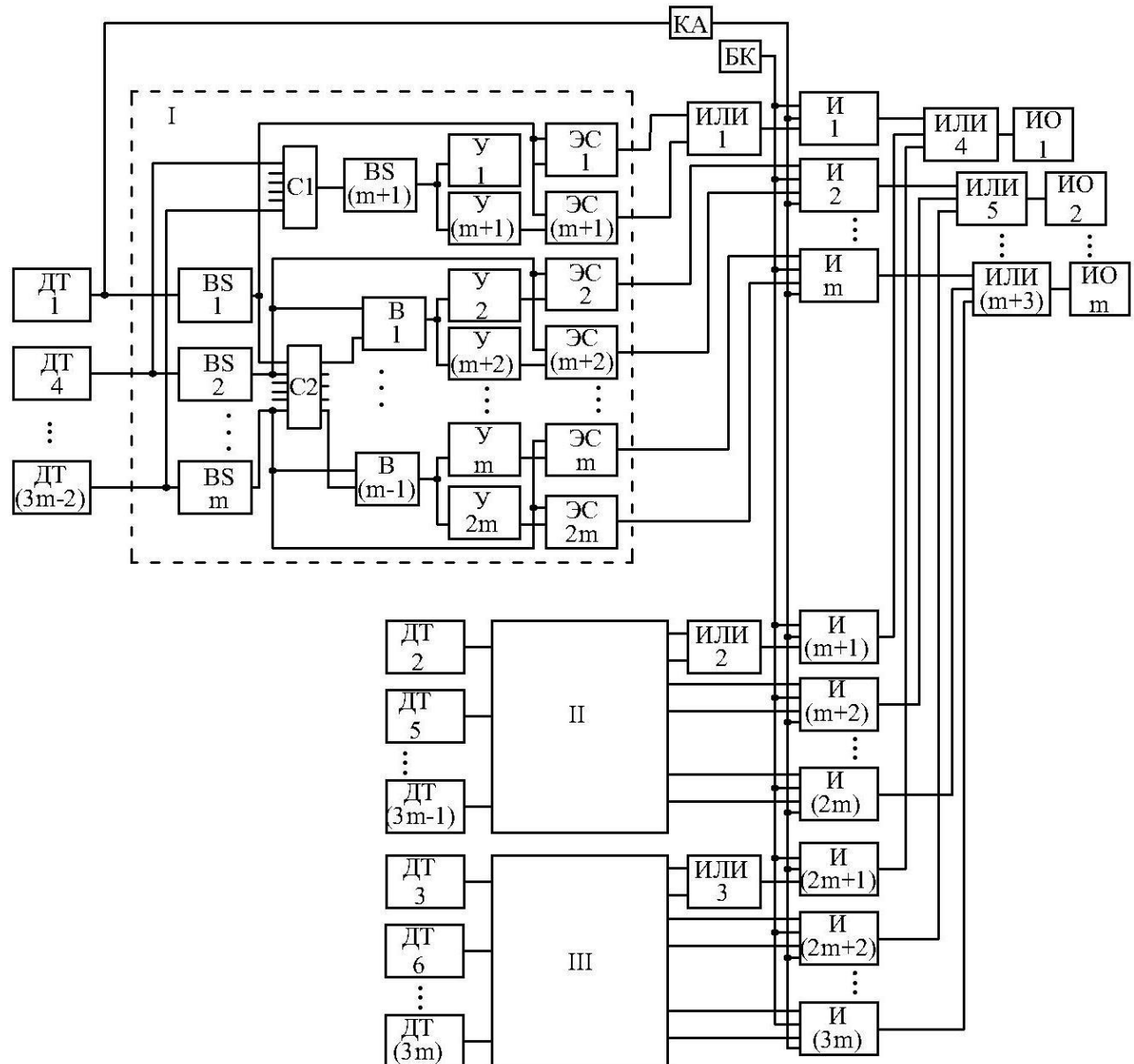


Рис.1: Принципиальная схема защиты.

**Чувствительность и область использования.** Анализ работы предлагаемой защиты показал, что она всегда чувствительна к междуфазным дуговым КЗ на шинах и в ячейках КРУ, и при определенной длине кабеля к короткому замыканию в нем, если при этом напряжение на шинах понижается до  $U_{\text{ост}}=0,5U_n$ . Исходя из этого условия находится длина  $l$  защищаемой части кабеля.  $U_{\text{ост}}=\sqrt{3}I_{\text{кз}}^{(3)}R_k$  ( $R_k$  – сопротивление кабеля), а ток  $I_{\text{кз}}^{(3)}$  трехфазного КЗ выражается через  $U_n$  и суммарное сопротивление сети до точки КЗ. В результате получаем:

$$l = \frac{s_k X_\Sigma}{2\rho}, \quad (4)$$

где  $X_\Sigma$  – суммарное сопротивление элементов сети до шин;  $\rho$  – удельное сопротивление материала жилы кабеля,  $s_k$  – ее сечение.

Как видно из (4), чем больше сечение  $s_k$  кабеля при заданной мощности питающего трансформатора, тем больше его защищаемая часть. С увеличением мощности  $X_\Sigma$  уменьшается, и при неизменном  $s_k$  уменьшается и  $l$ .

### **3 ЗАКЛЮЧЕНИЕ**

Предложенная централизованная защита присоединений напряжением 6-10 кВ от междуфазных дуговых замыканий обладает достаточной чувствительностью. В некоторых случаях, указанных в статье, она может выполнятся без цепей напряжения. Защита срабатывает без выдержки времени при КЗ на шинах, в ячейках комплектных распределительных устройств и в кабеле, если его длина не превышает, рассчитанной по формуле (4). При этом длина защищаемой части кабеля зависит от его сечения и мощности питающего трансформатора.

### **ЛИТЕРАТУРА**

- [1] Maziarz S., Szymol J. Examining the conditions of eliminating hazard due to arc faults inside switchgears and transformer stations // Przeglad Elektrotechniczny. 2001. № 3. P. 62-65.
- [2] Bielówka M. Experimental measurements of the fault arc parameters // Przeglad Elektrotechniczny. 2008. № 4. P. 98-101.
- [3] Partyka R., Kowalak D. The effects of fault-arc in medium voltage gas isolated switchboards installed on ships // Przeglad Elektrotechniczny. 2013. № 8. P. 290-293
- [4] Kletsel M., Kabdualiyev N., Mashrapov B., Neftissov A. Protection of busbar based on reed switches // Przeglad Elektrotechniczny. 2014. № 1. P. 88-89.
- [5] Land H.B., Eddins C.L., Gauthier L.R., Klimek J.M. Design of a sensor to predict arcing faults in nuclear switchgear // IEEE Transactions on Nuclear Science. 2003. № 50(4). P. 1161 – 1165.
- [6] Brechtken D., Preventive arc fault protection // Transmission and Distribution Conference and Exposition. 2001. № 1. P. 311 – 316.
- [7] Нагай В.И., Сарры С.В., Луконин А.В. Быстродействующие релейные защиты высоковольтного оборудования корпусной конструкции с датчиками электрических и неэлектрических величин. / Современные направления развития систем релейной защиты и автоматики энергосистем // Москва 7-10 сентября 2009. С. 425-432.
- [8] А.с. 1644287 СССР, МКИ<sup>5</sup> Н02Н7/26 Устройство для централизованной токовой защиты сети / Г.Е. Болгарцев, М.Я. Клецель, К.И. Никитин, В.М. Шатохин (СССР). - №4352486/07, заявл. 30.12.87; опубл. 23.04.91, бюл. №15 – 3 с.: ил.
- [9] Клецель М.Я., Кабдуалиев Н.М., Машрапов Б.Е. Быстродействующая защита шин и отходящих присоединений напряжением 6-10 кВ // Известия Томского политехнического университета. 2013. Т. 323. № 4. С. 175 – 178.
- [10] А.с. 78683 КZ, Н02Н7/26 Устройство для защиты присоединений подстанций от коротких замыканий / Кабдуалиев Н.М., Кислов А.П., Клецель М.Я., Машрапов Б.Е. - №2012/0459.1, заявл. 19.04.2012; опубл. 15.07.2013, бюл. №7 – 4 с.: ил